

→ 49 -

2. Numerische Lösungsverfahren gewöhnlicher Differentialgleichungen [= Bärwolff 8] 37

§2.1 Beispiele gewöhnlicher DGL (engl ODE)

2.1 Motivation: gewöhnliche DGL.

Suche (diffbare) Lösung $\gamma: I \rightarrow \mathbb{R}^n$, $\gamma = (\gamma_1, \dots, \gamma_n)$, $\gamma_i: I \rightarrow \mathbb{R}$, $I \subseteq \mathbb{R}$

vor

$$\gamma'(x) = F(x, \gamma(x)) \quad \text{Intervall}$$

$$\gamma(x_0) = \gamma_0 \quad \text{Anfangswertproblem 1. Ordnung}$$

mit $F: I \times D \rightarrow \mathbb{R}^n$, $D \subseteq \mathbb{R}^n$, stetig diff. auf $U \subseteq I \times D$, $x_0 \in I$, $\gamma_0 \in \mathbb{R}^n$

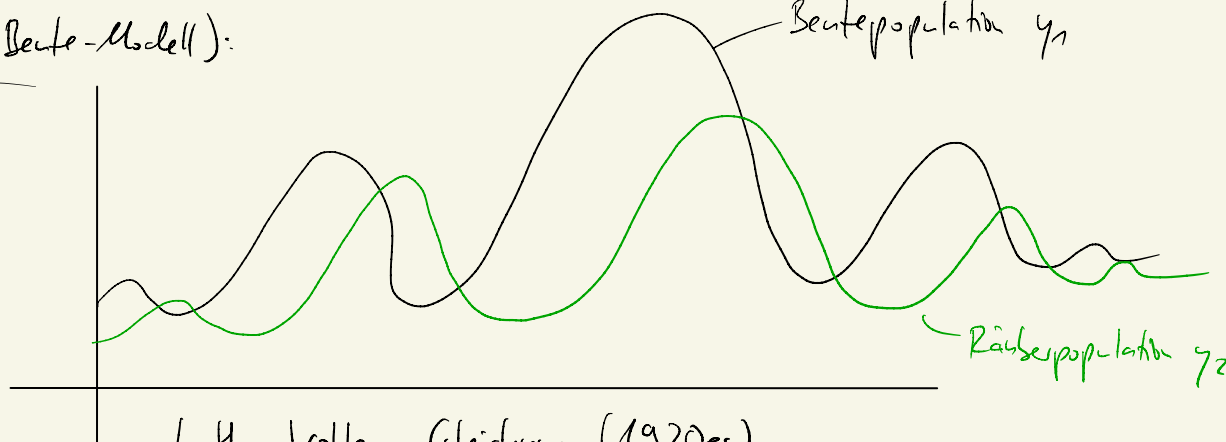
Oft wird I als Zeit verstanden, schreibe dann auch $\dot{\gamma}(t)$ statt $\gamma'(x)$.

→ ex. end. Lösung in diesem Setting

Oft sind diese DGL nicht analytisch lösbar, dh. haben keine Methode eine exakte Lösung zu ermitteln → benötige Näherungsverfahren

Sachverhalte in der Praxis oft in form solcher DGL modelliert: Luft- & Raumfahrt, chem. Reaktionen, auton. Produktion in Robotertechnik, Tierpopulationen, ...

2.3 Rsp. (Rauber-Beute-Modell):



Lotka-Volterra-Gleichungen (1920er)

$y_1(t)$:= Anzahl der Beutetiere zum Zeitpunkt t

(Problem: $y: I \rightarrow \mathbb{N}$)

$y_2(t)$:= Anzahl der Raubtiere zum Zeitpunkt t

ε_1 := Geburtrate der Beutetiere ohne Störung (perfekte Bedingungen)

ε_2 := Geburtrate der Raubtiere pro Beutetierwesen

γ_1 := Sterberate der Beutetiere pro Rauber

γ_2 := Sterberate der Raubtiere, wenn keine Beute vorhanden

] analytische Lsg
(Integral) \leftarrow

$$\begin{aligned}\dot{y}_1(t) &= y_1(t) (\varepsilon_1 - \gamma_1 y_2(t)) \\ \dot{y}_2(t) &= y_2(t) (\varepsilon_2 y_1(t) - \gamma_2)\end{aligned}$$

+ Anschauen ans Bildschirm

§ 2.2 Einschiffverfahren

-Sk-
3g

2.4 Eulerverfahren / Polygonzugsmethode / Integrationsmethode von Euler:

(1) Suche Lösung $\gamma: I \rightarrow \mathbb{R}$, $I \subseteq \mathbb{R}$ Intervall von AWP

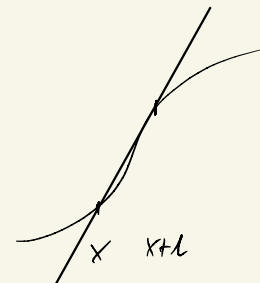
$$\gamma'(x) = f(x, \gamma(x))$$

$$\gamma(x_0) = y_0$$

mit $f: I \times \mathbb{R} \rightarrow \mathbb{R}$ stetig diff., $x_0 \in I$

(2) Idee: Linearisiere γ per Differenzenquotienten:

$$\gamma'(x) \approx \frac{\gamma(x+h) - \gamma(x)}{h}, \quad h > 0$$



Löse also $\frac{\gamma(x+h) - \gamma(x)}{h} = f(x, \gamma(x))$

$$\Leftrightarrow \gamma(x+h) = \gamma(x) + h f(x, \gamma(x))$$

(3) Wähle zu x_0 eine Schrittweite h und betrachte Schätzstellen

$$x_k := x_0 + kh \quad (\text{für solche } k, \text{ so dass } x_k \in I)$$

Berechne $\gamma_{k+1} := \gamma_k + h f(x_k, \gamma_k) \rightsquigarrow \text{Näherung an } \gamma(x_k)$

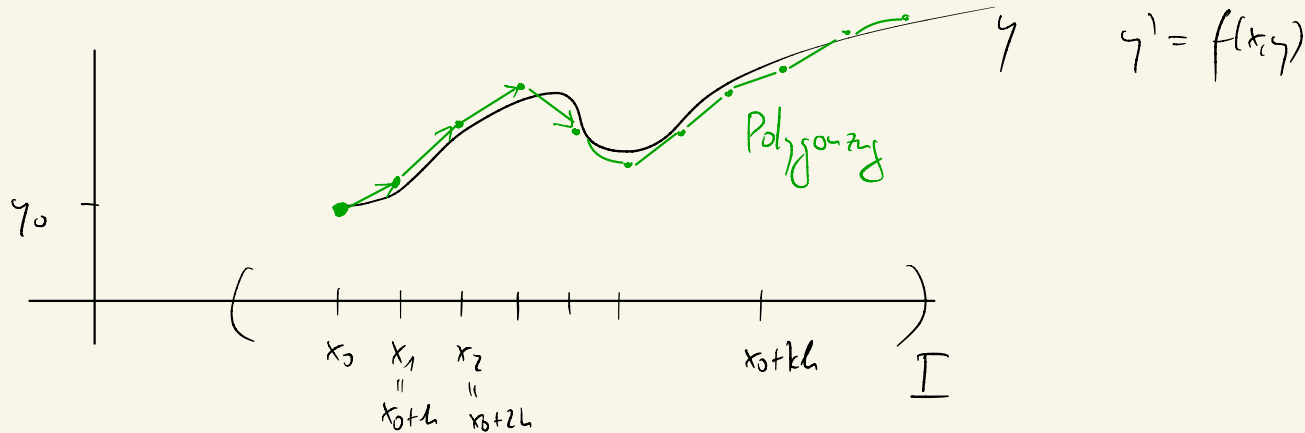
(3) Wähle zu x_0 eine Schrittweite h und betrachte Schrittstellen

-58-
40

$$x_k := x_0 + kh$$

Berechne

$$\gamma_{k+1} := \gamma_k + h f(x_k, \gamma_k) \quad \rightsquigarrow \text{Näherung an } \gamma(x_k)$$

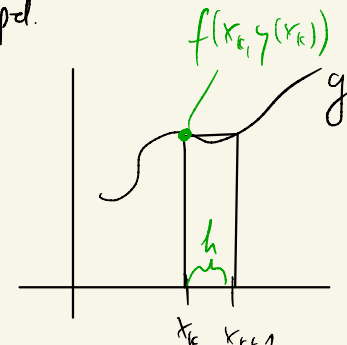


(4) Methode recht grob, nur bei kleinen h gute Werte. Dafür sehr simpel.

(5) Integral: $\gamma(x_{k+1}) - \gamma(x_k) = \int_{x_k}^{x_{k+1}} \gamma'(x) dx = \int_{x_k}^{x_{k+1}} \underbrace{f(x, \gamma(x))}_{=: g(x)} dx$

$$\Rightarrow \gamma(x_{k+1}) \approx \gamma(x_k) + h f(x_k, \gamma(x_k))$$

$$\begin{aligned} &\approx (x_{k+1} - x_k) g(x_k) \\ &= h f(x_k, \gamma(x_k)) \end{aligned}$$



$$(6) \text{ Bsp.: } f(x, y) = x^2 + 2x - y \quad | \quad \begin{aligned} x_0 &= 0 \\ y_0 &= 0 \end{aligned} \quad \begin{aligned} y'(x) &= f(x, y(x)) \\ y(x_0) &= y_0 \end{aligned}$$

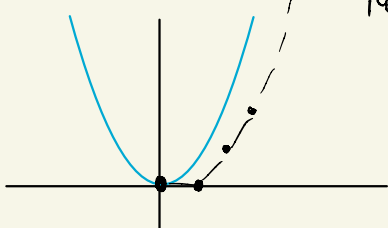
-54
41

ALVP

Weit: $\dot{y}(x) = x^2 + 2x - y(x)$ wird gelöst durch $y(x) = x^2$

$$h = \frac{1}{2}: \quad \text{Also Fehler: } y_{k+1} = y_k + h f(x_k, y_k) = y_k + \frac{1}{2} (x_k^2 + 2x_k - y_k) = \frac{1}{2} y_k + \frac{1}{2} x_k^2 + x_k, \quad x_k = 0 + kh = \frac{k}{2}$$

k	x_k	$y(x_k)$	y_k	$g_k := y(x_k) - y_k$
0	0	0	0	0
1	$\frac{1}{2}$	$\frac{1}{4}$	$y_1 = \frac{1}{2} y_0 + \frac{1}{2} x_0^2 + x_0 = 0$	$\frac{1}{4}$
2	1	1	$y_2 = \frac{1}{2} \cdot 0 + \frac{1}{2} (\frac{1}{2})^2 + \frac{1}{2} = \frac{5}{8}$	$\frac{3}{8}$
3	$\frac{3}{2}$	$\frac{9}{4}$	$y_3 = \frac{1}{2} \cdot \frac{5}{8} + \frac{1}{2} 1^2 + 1 = 1 + \frac{13}{16}$	$\frac{7}{16}$
4	2	$\frac{17}{4}$	$y_4 \approx 3.53$	≈ 0.46



für $h = \frac{1}{4}: x_k = 2 \Rightarrow y_k \approx 3.77$,
d.h. $g_k \approx 0.72$ besser!

Tabelle 1

h	0,5				
	x_k	y(x_k)	y_k	$g_k = \gamma(x_k) - \gamma_k$	
0	0	0	0	0	
1	0,5	$\frac{1}{4} = 0,25$	0	$\frac{1}{4} = 0,25$	
2	1	1	0,625	$\frac{3}{8} = 0,375$	
3	1,5	$\frac{9}{16} = 0,5625$	1,8125	$\frac{7}{16} = 0,4375$	
4	2	4	3,53125	0,46875	
5	2,5	6,25	5,765625	0,484375	
6	3	9	8,5078125	0,4921875	
7	3,5	12,25	11,75390625	0,49609375	
8	4	16	15,501953125	0,498046875	

Tabelle 1

h	0,25			
	x_k	y(x_k)	y_k	g_k
0	0	0	0	0
1	0,25	0,0625	0	0,0625
2	0,5	0,25	0,140625	0,109375
3	0,75	0,5625	0,41796875	0,14453125
4	1	1	0,8291015625	0,1708984375
5	1,25	1,5625	1,371826171875	0,190673828125
6	1,5	2,25	2,04449462890625	0,20550537109375
7	1,75	3,0625	2,84587097167969	0,216629028320312
8	2	4	3,77502822875977	0,224971771240234

→ deutlich besser als bei $h = \frac{1}{2}$

2.5 Def: (a) Ein explizites Einschrittverfahren ist eine Vorschrift

$$y_{k+1} = y_k + h \tilde{\Phi}(x_k, y_k, h) \in \mathbb{R}, \quad k=0, \dots, n$$

$$x_k := x_0 + kh$$

Startwerte $x_0, y_0 \in \mathbb{R}$, $h \geq 0$

mit einer Verfahrensfunktion $\tilde{\Phi}: [x_0, x_0 + h] \times \mathbb{R} \times \mathbb{R}_+ \rightarrow \mathbb{R}$.

(b) Ein implizites Einschrittverfahren ist eine Vorschrift

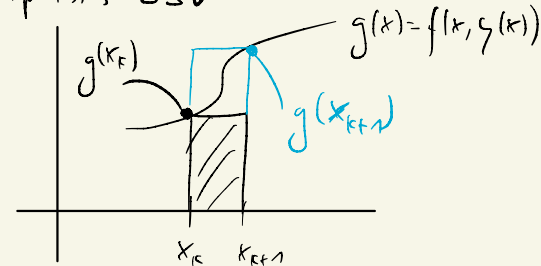
$$y_{k+1} = y_k + h \bar{\Phi}(x_k, y_k, y_{k+1}, h), \quad k=0, \dots, n$$

Startwerte $x_0, y_0 \in \mathbb{R}$, $h \geq 0$

mit einer Verfahrensfunktion $\bar{\Phi}: [x_0, x_0 + h] \times \mathbb{R}^2 \times \mathbb{R}_+ \rightarrow \mathbb{R}$.

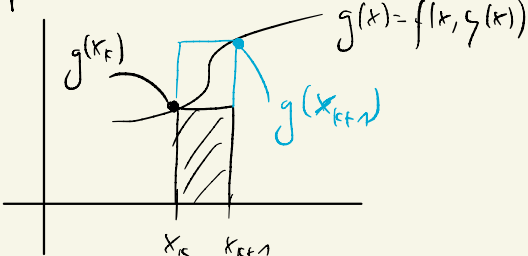
2.6 Bsp.: (a) $\tilde{\Phi}(x_k, y_k, h) := f(x_k, y_k) \rightsquigarrow$ Eulerverfahren ist explizites ESV

(b) $\bar{\Phi}(x_k, y_k, y_{k+1}, h) := f(x_{k+1}, y_{k+1})$
 \rightsquigarrow Eulerverfahren als implizites ESV



2.6 Bsp.: (a) $\Phi(x_k, y_k, h) := f(x_k, y_k) \rightsquigarrow$ Eulerverfahren mit explizitem ESV

(b) $\Phi(x_k, y_k, y_{k+1}, h) := f(x_{k+1}, y_{k+1})$
 \rightsquigarrow Eulerverfahren als implizites ESV



$$y(x_{k+1}) - y(x_k) = \int_{x_k}^{x_{k+1}} y'(x) dx = \int_{x_k}^{x_{k+1}} f(t, y(t)) dt \approx (x_{k+1} - x_k) \cdot g(x_{k+1}) \\ = h \cdot f(x_{k+1}, y(x_{k+1}))$$

$$\Rightarrow y(x_{k+1}) \approx y(x_k) + h \cdot f(x_{k+1}, y(x_{k+1}))$$

$$\rightsquigarrow y_{k+1} = y_k + \underbrace{h \cdot f(x_{k+1}, y_{k+1})}_{\Phi(x_k, y_k, y_{k+1}, h)}$$

2.7 Def.: (a) für ein implizites ESV mit Verfahrensfkt. $\tilde{\Phi}$ und Schrittweite h
sowie eine exakte Lösung y des AWP

$$y'(x) = f(x, y(x))$$

$$y(x_0) = y_0$$

$$(x_k, y_{k+1}) \rightarrow \boxed{y_k - h\tilde{\Phi}(-)} \rightarrow y_{k+1} \approx y(x_{k+1})$$

$$\text{ist } d_{k+1} := y(x_{k+1}) - \underbrace{y(x_k) - h\tilde{\Phi}(x_k, y(x_k), y(x_{k+1}), h)}$$

Ergebnis des Verfahrens bei Input $x_k, y(x_k)$

der „lokale Diskretisierungsfehler“ an der Stelle x_{k+1}

(also der Abstand von „berechnetem Wert $y(x_{k+1})$ “ und tatsächlichen Wert $y(x_{k+1})$)

(b) Der „globale Diskretisierungsfehler“ an der Stelle x_k ist

$$g_k := y(x_k) - y_k$$

(also der Abstand von der Menge „berechnete Plt. (y_0, y_1, y_2, \dots) “ um y)

$$(x_k, y_k) \rightarrow \boxed{\quad} \rightarrow y_{k+1}$$

Beachte:

in Praxis ist y nicht bekannt

(daher Verfahren, um y zu bestimmen)

in Theorie ist y bekannt, für die Fehleranalyse

2.8 Def: Ein EIV erfüllt die Lipschitzbedingung mit Lipschitzkonstante $L > 0$ auf \mathbb{B} ,
falls $|\Phi(x, y, z, h) - \Phi(x, \tilde{y}, z, h)| \leq L |y - \tilde{y}|$

-62-
47

$$|\Phi(x, y, z, h) - \Phi(x, y, \tilde{z}, h)| \leq L |z - \tilde{z}|$$

$$\forall (x, y, z, h), (x, \tilde{y}, z, h), (x, y, \tilde{z}, h) \in \mathbb{B} \subseteq [x_0, x_0 + u] \times \mathbb{R}^2 \times \mathbb{R}_+$$

2.9 Dem: Ist Φ stetig auf \mathbb{B} und gilt $|\frac{\partial}{\partial y} \Phi(x, y, z, h)| \leq M$ ($\forall (x, y, z, h)$)

$$|\frac{\partial}{\partial z} \Phi(x, y, z, h)| \leq M$$

für die part. Ableitungen $\frac{\partial}{\partial y} \Phi$, $\frac{\partial}{\partial z} \Phi$, so erfüllt Φ die L.-Bed. mit $L = M$.
(MWS)

2.10 Lemma: Sei durch $\tilde{\Phi}, h, x_0, y_0$ ein implizites ESV gegeben, das die L.-Bed. mit $L > 0$ erfüllt.

$$(a) \text{ Dann } |g_{k+1}| \leq (1+hL)|g_k| + \underbrace{hL|g_k|}_{\text{entfällt, falls ESV explizit}} + |d_{k+1}| \quad \text{erfüllt.}$$

$$(b) \text{ Ist das ESV explizit und } \max_k |d_k| \leq b, \text{ so gilt } |g_{k+1}| \leq (1+hL)|g_k| + b$$

Bew: (a) Def. d_{k+1} : $y(x_{k+1}) = y(x_k) + h \tilde{\Phi}(x_k, y(x_k), y(x_{k+1}), h) + d_{k+1}$
 $y_{k+1} = y_k + h \tilde{\Phi}(x_k, y_k, y_{k+1}, h)$

$$\begin{aligned} \Rightarrow g_{k+1} &= y(x_{k+1}) - y_{k+1} \\ &= \cancel{y(x_k)} + h \tilde{\Phi}(x_k, y(x_k), y(x_{k+1}), h) + d_{k+1} \\ &\quad - (\cancel{y_k} + h \tilde{\Phi}(x_k, y_k, y_{k+1}, h)) + g_k - \cancel{y(x_k)} + \cancel{y_k} \\ &= g_k + h \left(\tilde{\Phi}(x_k, y(x_k), y(x_{k+1}), h) - \tilde{\Phi}(x_k, y_k, y(x_{k+1}), h) \right) + d_{k+1} \\ &\quad + h \left(\tilde{\Phi}(x_k, y_k, y(x_{k+1}), h) - \tilde{\Phi}(x_k, y_k, y_{k+1}, h) \right) \end{aligned}$$

$$\xrightarrow{\text{Lipsch.}} |g_{k+1}| \leq |g_k| + h \left| \tilde{\Phi}(x_k, y(x_k), y(x_{k+1}), h) - \tilde{\Phi}(x_k, y_k, y(x_{k+1}), h) \right| + h \left| \tilde{\Phi}(x_k, y_k, y(x_{k+1}), h) - \tilde{\Phi}(x_k, y_k, y_{k+1}, h) \right| + |d_{k+1}|$$

$$\leq hL |y(x_k) - y_k| \leq hL |g_k| \quad \leq hL |y(x_{k+1}) - y_{k+1}| \leq hL |g_{k+1}| \quad \square$$

2.11 Satz (Abschätzung des globalen Diskretisierungsfeliers): Sei durch Φ, h, x_0, y_0 ein ESV

-64
49

mit L-bed. gegeben, so dass $hL < 1$, $\max|d_k| \leq 1$

(a) Seien a, b mit $|g_{k+1}| \leq a|g_k| + b \quad \forall k$, dann $|g_k| \leq \frac{b}{a} |e^{ka} - 1| + e^{ka} |g_0|$

(b) Es gilt $|g_k| \leq \frac{D}{hL} e^{khL}$ für ein explizites ESV

und $|g_k| \leq \frac{D}{hL(1-hL)} e^{khL} K$ für ein implizites ESV, K mit $\frac{1+hL}{1-hL} = 1+hK$

Bew: Anwendung von 2.10.

2.12 (Gr): Hat ein explizites ESV die Fehlverteilung p (dh. $\max|d_k| \leq C \cdot h^{p+1}, C > 0$)

(falls $p \geq 1$, so heißt das ESV dann „konstant“), so ist $|g_k| \leq \frac{C}{L} e^{khL} h^p$

Bew: $|g_k| \stackrel{2.11}{\leq} \frac{D}{hL} e^{khL} \leq \frac{C h^{p+1}}{hL} e^{khL} = \frac{C}{L} e^{khL} h^p. \quad \square$

Gehört also $h \rightarrow 0$, so geht $g_k \rightarrow 0$, dh. der Fehler verschwindet und die berechnete Werte y_k des Verfahrens konvergieren gegen die tatsächlichen Werte $y(x_k)$

2.13 Bsp.: $f(x, y) = x^2 + 2x - y$ unter in 2.4(6).

$$\begin{aligned} y &= f(x, y(x)) \\ y(0) &= 0 \end{aligned}$$

AWP

Lösung: $y(x) = x^2$

Also $\Phi(x_k, y_k, h) = f(x_k, y_k) = x_k^2 + 2x_k - y_k$ explizites EKV

$$\begin{aligned} d_{k+1} &= y(x_{k+1}) - y(x_k) - h \Phi(x_k, y(x_k), h) \\ &= x_{k+1}^2 - x_k^2 - h(x_k^2 + 2x_k - x_k^2) \\ &= x_{k+1}^2 - x_k^2 - 2hx_k \\ &= (k+1)^2 h^2 - k^2 h^2 - 2h^2 k \\ &= \cancel{k^2 h^2} + \cancel{2kh^2} + h^2 - \cancel{k^2 h^2} - \cancel{2h^2 k} \\ &= h^2 \end{aligned}$$

$$x_k = x_0 + kh = kh$$

Also $|d_k| \leq h^2$ ($C=1$) mit $p=1$

und $|g_k| \leq \sum e^{khL} h$

2.14 verbesserte Polygonzugmethode

(1) Fehler Bsp.

$$f(x, y) = x^2 + 2x - 7$$

$$y' = f(x, y)$$

$$y(0) = 0$$

$$\left| \begin{array}{l} \text{Lsg. } y(x) = x^2 \\ \end{array} \right.$$

Euler / Polygonzug: $y_{k+1} = y_k + h f(x_k, y_k) = (1-h)y_k + h x_k^2 + 2h x_k$, $x_k = kh$

k	$x_k = kh$	$y(x_k) = x_k^2$	y_k	\tilde{y}	$\tilde{y}_k = y(x_k) - y_k$	\tilde{y}
0	0	0	0	0	0	0
1	$\frac{1}{2}$	$\frac{1}{4}$	0,25	0,25	0,14...	0,25
2	1	1	1	1	0,625	0,375
3	$\frac{3}{2}$	$\frac{9}{4}$	2,25	2,25	1,03...	0,17...
4	2	4	4	4	3,53...	0,437...

$$\begin{matrix} & & & \parallel & & \parallel \\ & & & a & & b \end{matrix}$$

$$\tilde{y} = \tilde{y} - y(x_k)$$

Wow!

$$\tilde{y} := 2b - a \quad \text{"Richardson - Extrapolation" (allgemein: } \tilde{y} := y^{(1)} + \frac{y^{(2)} - y^{(1)}}{1 - \frac{y^{(2)}}{y^{(1)}}}, \text{ hier } y^{(2)} = b, h^{(2)} = \frac{1}{4}, y^{(1)} = a, h^{(1)} = \frac{1}{2})$$

(2) verbesserte Methode: gegeben (x_k, y_k) bereche

$$\rightarrow \text{Richardson - Extr.: } \boxed{y_{k+1} = 2y_{k+\frac{1}{2}} - y_{k+\frac{1}{2}}^{(2)}}$$

$$y_{k+1}^{(1)} = y_k + h f(x_k, y_k)$$

$$y_{k+\frac{1}{2}}^{(2)} = y_k + \frac{h}{2} f(x_k, y_k)$$

$$y_{k+1}^{(2)} = y_{k+\frac{1}{2}}^{(2)} + \frac{h}{2} f(x_k + \frac{h}{2}, y_{k+\frac{1}{2}}^{(2)})$$

Polygonyz/Euler:

$$x_k := x_0 + k \cdot h$$

$$y_{k+1} := y_k + h \cdot f(x_k, y_k)$$

~~-6g~~
52

2. 14 (2)

$$y_{k+1} := y_k + h \cdot f\left(x_k + \frac{h}{2}, y_k + \frac{h}{2} f(x_k, y_k)\right) = 2y_{k+1}^{(2)} - y_{k+1}^{(1)}$$

„verbesserte Polygonyzmethode“

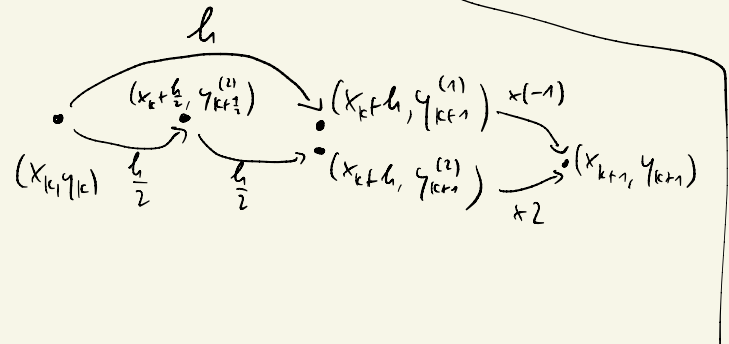
Setze

$$y_{k+1}^{(1)} := y_k + h \cdot f(x_k, y_k)$$

$$y_{k+\frac{1}{2}}^{(2)} := y_k + \frac{h}{2} f(x_k, y_k)$$

$$y_{k+1}^{(2)} := y_{k+\frac{1}{2}}^{(2)} + \frac{h}{2} f\left(x_k + \frac{h}{2}, y_{k+\frac{1}{2}}^{(2)}\right)$$

$$\begin{aligned} 2y_{k+1}^{(2)} - y_{k+1}^{(1)} &= 2y_{k+\frac{1}{2}}^{(2)} + h \cdot f\left(x_k + \frac{h}{2}, y_{k+\frac{1}{2}}^{(2)}\right) - \left(y_k + h \cdot f(x_k, y_k)\right) \\ &= 2y_k + h \cdot f(x_k, y_k) + h \cdot f\left(x_k + \frac{h}{2}, y_k + \frac{h}{2} f(x_k, y_k)\right) \end{aligned}$$



$$\begin{aligned} &- y_k - h \cdot f(x_k, y_k) \\ &= y_k + h \cdot f\left(x_k + \frac{h}{2}, y_k + \frac{h}{2} f(x_k, y_k)\right) \\ &= y_{k+1} \end{aligned}$$

(5) Prädiktor - Korrektur - Modell / Methode von Heun / Propagationsmethode:

$$y_{k+1} = y_k + \frac{h}{2} \left(f(x_k, y_k) + f(x_k + h, y_k + h f(x_k, y_k)) \right)$$

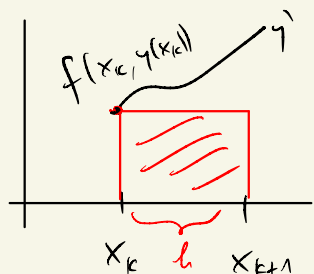
Prädiktorwert, n. sagt y_{k+1} vorans⁴

Euler: $y_{k+1} = \text{Prädiktorwert}$

$$\text{PLC-Modell: } y_{k+1} = y_k + h \left[\frac{1}{2} f(x_k, y_k) + \frac{1}{2} f(x_k + h, \text{Prädiktorwert}) \right]$$

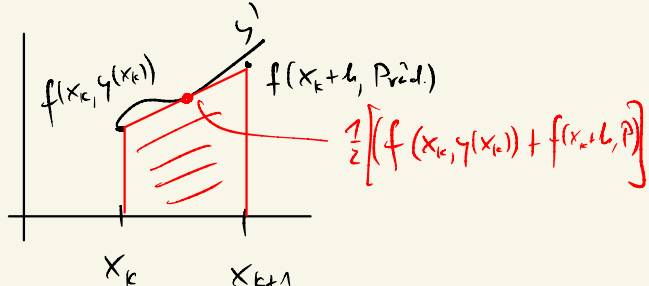
Euler Rechteck

$$y(x_{k+1}) - y(x_k) = \int_{x_k}^{x_{k+1}} y'(x) dx \approx (x_{k+1} - x_k) f(x_k, y(x_k)) \\ = \underline{h f(x_k, y(x_k))}$$



Impet

$$y(x_{k+1}) - y(x_k) = \int_{x_k}^{x_{k+1}} y'(x) dx \\ \approx \underline{h \left(\frac{1}{2} f(x_k, y(x_k)) + \frac{1}{2} f(x_k + h, \text{Pred.}) \right)}$$



§2.3 Runge-Kutta - Verfahren

$\widehat{=}$ Bärwolff 8.1.4 - 8.1.8

-72-
54

2.15 Einf.: Carl Runge, Martin Kutta, Karl Heun (≈ 1900):

- „klassisches“ RK-Verfahren, „RK4“ (ein spezielles, explizites 4-stufiges RK-Verf.)
- S-stufige RK-Verf.

John Butcher 1960es: Vereinfach., Butcher-Tableaus

$y' = f(x, y)$

$y(x_0) = y_0$

$y_{k+1} := y_k + h \sum_{j=1}^s c_j k_j$

$k_j = f(x_k + h a_j, y_k + h \sum_{\ell=1}^s b_{j\ell} k_\ell)$, $b_{j\ell} = 0$ für $\ell \geq j$: explizit

AVP

Geffüllte (Gewichtete) Zwischenstufen

$a_1, \dots, a_s \in [0, 1]$

$\& \sum_{j=1}^s c_j = 1$

„Runge-Kutta-Verfahren“

Butcher-Tableau:

a_1	b_{11}	\dots	b_{1s}	explizit:
a_2	b_{21}	\vdots	\vdots	
\vdots	\vdots	\ddots	\vdots	
a_s	b_{s1}	\dots	b_{ss}	

c_1	c_2	\dots	c_s
-------	-------	---------	-------

a_1	0	\dots	0
a_2	b_{21}	\vdots	\vdots
\vdots	\vdots	\ddots	\vdots
a_s	b_{s1}	\dots	$b_{s,s-1}$

c_1	c_2	\dots	c_s
-------	-------	---------	-------

$$\text{RK-Vorf.: } y_{k+1} := y_k + h \sum_{j=1}^s c_j k_j$$

$$k_j = f(x_k + h a_j, y_k + h \sum_{\ell=1}^s b_{j\ell} k_\ell)$$

Bsp.: Euler / Polygon: $y_{k+1} = y_k + h f(x_k, y_k)$

a_1	b_{11}	...	b_{1s}	73 55
a_2	b_{21}	...	\vdots	\vdots
\vdots	\vdots	...	\vdots	\vdots
a_s	b_{s1}	...	b_{ss}	
	c_1	c_2 ..	c_s	

$s=1$

0	0
1	

\leadsto Euler-Vorf. ist ein 1-stufiges RK-Vorf.

vergl. Polygon: $y_{k+1} = y_k + h f(x_k + \frac{h}{2}, y_k + \frac{h}{2} f(x_k, y_k)) = y_k + h k_2$

$$k_1 = f(x_k, y_k)$$

$$k_2 = f(x_k + \frac{h}{2}, y_k + \frac{h}{2} k_1)$$

$s=2$

0	0	0
$\frac{1}{2}$	$\frac{1}{2}$	0
0	1	

Predictor-Corrector: $s=2$...

2.16 Bsp. 3-stufiges Verf.:

-714-
56

$$(1) \quad y^1 = f(x, y)$$

$$y(r_0) = y_0$$

will $y_{k+1} = y_k + h [c_1 k_1 + c_2 k_2 + c_3 k_3]$

$$k_1 = f(x_k, y_k)$$

$$k_2 = f(x_k + a_2 h, y_k + h b_{21} k_1)$$

$$k_3 = f(x_k + a_3 h, y_k + h(b_{31} k_1 + b_{32} k_2))$$

$$\Sigma = 3$$

$$\begin{array}{c|cc} 0 & & \\ a_2 & b_{21} & \\ a_3 & b_{31} & b_{32} \\ \hline & c_1 & c_2 & c_3 \end{array}$$

(explizit)

Suche $a_2, a_3, b_{21}, b_{31}, b_{32}, c_1, c_2, c_3$ mit möglichst hoher Fehlerordnung p für schnelle Konvergenz

(2) Siehe Butwolff 8.1.4: $a_2 := b_{21}$

$$a_3 := b_{31} + b_{32}$$

- berechne Diskretisierungsfehler
- Taylorentwicklung für k_i
- Analyse der Koeffizienten, um $p \geq 3$ zu erreichen

→ Gleichungen für Parameter $c_1, c_2, c_3, b_{21}, b_{31}, b_{32}$ mit vielen Freiheitsgraden

→ Welche RK-Verfahren möglich

2.17 RK4 ("das" RK-Verf.):

-78-
57

$$k_1 = f(x_k, y_k)$$

$$k_2 = f(x_k + \frac{1}{2}h, y_k + \frac{1}{2}h k_1)$$

$$k_3 = f(x_k + \frac{1}{2}h, y_k + \frac{1}{2}h k_2)$$

$$k_4 = f(x_k + h, y_k + h k_3)$$

$$y_{k+1} = y_k + \frac{h}{6} k_1 + \frac{h}{3} k_2 + \frac{h}{3} k_3 + \frac{h}{6} k_4$$

$\frac{1}{2}h$ h
• •
• •
[]
Viel Wert

0				
$\frac{1}{2}$	$\frac{1}{2}$			
$\frac{1}{2}$	0	$\frac{1}{2}$		
1	0	0	1	
	$\frac{1}{6}$	$\frac{1}{3}$	$\frac{1}{3}$	$\frac{1}{6}$

$s=4$

-76
58

2.18 Bem: s-stufiges implizites RK-Verf. ermöglicht Fehlerordn. $2s$ [8.1.5 Berwolff]

2.19 Schrittweitensteuerung: sicher $h_k = x_{k+1} - x_k$ fest ($x_k = x_0 + kh$)
[8.1.6 Berwolff]

$$\xrightarrow{h_k}$$

$$(x_k, y_k) \quad (x_{k+1}, y_{k+1}) \quad (x_{k+2}, y_{k+2})$$

betrachte nun $h_k = x_{k+1} - x_k$ variable

Bsp.: ausgehend vom Heun-Verf. (2.14(4), s=2)

~ konstruktive Verfahren mit $s=3$ mit variabler Schrittweite

und steuere diese durch Vgl. der Zwischenschritte k_1, k_2, k_3 (sollen nicht beliebender sein)

2.20 Konsistenzbedingungen: (a) $\sum_{j=1}^s c_j = 1 \Rightarrow$ RK-Verf. konsistent (Fehlerordn. $p \geq 1$)

(b) zusätzlich $a_{ij} = \sum_{i=1}^s b_{ji}^i, \frac{1}{2} = \sum_{j=1}^s c_j a_{ij} \Rightarrow$ RK-Verf. Fehlerordn. $p \geq 2$